

Fusão e rotação

Fernando Pujaico Rivera

July 5, 2016

Abstract

Este trabalho mostra como achar a matriz de transformação M^{-1} de um vetor de aceleração \mathbf{A}_n numa base nova qualquer, a um vetor \mathbf{A}_c descrito em função da base canônica ($\mathbf{A}_c = M^{-1}\mathbf{A}_n$).

Para achar a matriz M são usados os vetores de gravidade \mathbf{g}_n e \mathbf{g}_c sendo estes referenciados á base nova e a base canônica, respetivamente.

Chapter 1

Introdução

O objetivo deste trabalho é mostrar como achar a matriz de transformação M^{-1} , para ser usado com qualquer vetor de aceleração \mathbf{A}_n , numa base nova qualquer, que deba ser transformado a um vetor \mathbf{A}_c , na base canônica; de modo que $\mathbf{A}_c = M^{-1}\mathbf{A}_n$.

Para achar a matriz M devem ser usados os vetores de gravidade \mathbf{g}_n e \mathbf{g}_c sendo estes referenciados á base nova e a base canônica, respetivamente. O vetor de gravidade \mathbf{g}_c foi obtido ao inicio do analises e o vetor \mathbf{g}_n é a gravidade quando os sensores se movimentam. Assim ambos vetores são medidas de um mesmo sensor em diferentes tempos.

1.1 cálculo da gravidade

A gravidade \mathbf{g}_n pode ser obtida diretamente usando os sensores do celular ($\mathbf{g}_{gravity}$). E também pode ser calculada em direção a partir do giroscópio ($\mathbf{g}_{gyroscope}$) dado que o modulo da gravidade não muda para cortas distancias. Assim aplicando fusão de dados podemos afirmar que

$$\mathbf{g}_n = \alpha \mathbf{g}_{gravity} + (1 - \alpha) \mathbf{g}_{gyroscope}. \quad (1.1)$$

Onde α é escolhido entre $0 \leq \alpha \leq 1$ a critério do desenhador.

Chapter 2

Apêndice

2.1 Velocidade de giro sobre um eixo

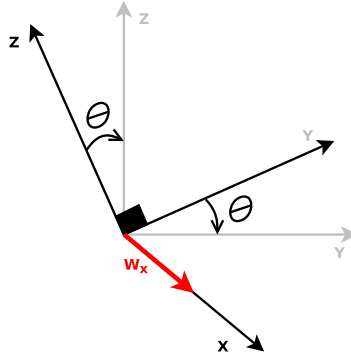


Figure 2.1: Velocidade de giro sobre o eixo \mathbf{X}

Acknowledgement 1 A velocidade de giro sobre o eixo \mathbf{X} pode ser representada mediante um vetor. No caso da Fig. 2.1 pode-se ver que os eixos coordenados $\{\mathbf{Y}, \mathbf{Z}\}$ estão girando de forma horária um ângulo θ , tendo como eixo de giro a \mathbf{X} . Assim define-se a velocidade de giro como o vetor $\mathbf{w}_x \equiv (w_x, 0, 0)$, onde

$$w_x = \frac{d\theta}{dt}. \quad (2.1)$$

Acknowledgement 2 Pode-se generalizar o visto no Acknowledgement 1, quando temos um vetor de velocidade de giro $\mathbf{w} \equiv (w_x, w_y, w_z)$. Este vetor de velocidade de giro pode-se interpretar como se os eixos coordenados $\{\mathbf{X}, \mathbf{Y}, \mathbf{Z}\}$ estão girando ao redor do vetor \mathbf{e} com uma velocidade $w_{\mathbf{e}}$. Sendo

$$\mathbf{e} = \frac{\mathbf{w}}{\|\mathbf{w}\|} \quad (2.2)$$

$$w_{\mathbf{e}} = \|\mathbf{w}\| \quad (2.3)$$

2.2 Integrando a velocidade de giro

Acknowledgement 3 Conhecendo que os eixos coordenados giram a uma velocidade $w_{\mathbf{e}_i}$ ao redor do vetor \mathbf{e}_i em sentido horário, onde

$$\mathbf{e}_i = \frac{\mathbf{w}_i}{\|\mathbf{w}_i\|}, \quad (2.4)$$

$$w_{\mathbf{e}_i} = \|\mathbf{w}_i\|, \quad (2.5)$$

e \mathbf{w}_i é o vetor de giro no instante i .

Se integramos $w_{\mathbf{e}_i}$, obtemos um ângulo θ_i de giro horário dos eixos ao redor do vetor $\mathbf{e}_i \equiv (e_{w_x}, e_{w_y}, e_{w_z})$. Conhecendo o Theo. 2 sabemos que um vetor \mathbf{v}_i na base original se veria como o vetor \mathbf{v}_{i+1} na base nova

$$\mathbf{v}_{i+1} = \mathbf{R}_i \mathbf{v}_i, \quad (2.6)$$

$$\mathbf{R}_i = \begin{bmatrix} \cos \theta_i + e_{w_x}^2 (1 - \cos \theta_i) & e_{w_x} e_{w_y} (1 - \cos \theta_i) - e_{w_z} \sin \theta_i & e_{w_x} e_{w_z} (1 - \cos \theta_i) + e_{w_y} \sin \theta_i \\ e_{w_y} e_{w_x} (1 - \cos \theta_i) + e_{w_z} \sin \theta_i & \cos \theta_i + e_{w_y}^2 (1 - \cos \theta_i) & e_{w_y} e_{w_z} (1 - \cos \theta_i) - e_{w_x} \sin \theta_i \\ e_{w_z} e_{w_x} (1 - \cos \theta_i) - e_{w_y} \sin \theta_i & e_{w_z} e_{w_y} (1 - \cos \theta_i) + e_{w_x} \sin \theta_i & \cos \theta_i + e_{w_z}^2 (1 - \cos \theta_i) \end{bmatrix}. \quad (2.7)$$

2.3 Rotação de um vetor ao redor dum eixo

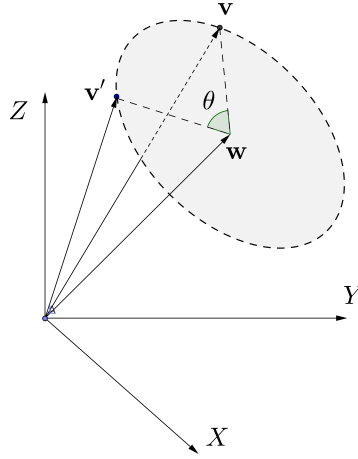


Figure 2.2: Rotação um ângulo θ .

Acknowledgement 4 A rotação $\mathbf{v}' = (v'_x, v'_y, v'_z)^T$ de um vetor $\mathbf{v} = (v_x, v_y, v_z)^T$ um ângulo θ , em sentido anti-horário, ao redor de um vetor unitário $\mathbf{w} = (w_x, w_y, w_z)^T$, ver Fig. 2.2, pode ser compactamente representada através de quatérnios.

$$\mathbf{V}' = \mathbf{Q} \mathbf{V} \mathbf{Q}^{-1}, \quad (2.8)$$

onde \mathbf{Q} e \mathbf{W} são quatérnios de módulo 1

$$\mathbf{Q} = \cos \frac{\theta}{2} + \sin \frac{\theta}{2} \mathbf{W}, \quad (2.9)$$

$$\mathbf{W} = w_x \mathbf{i} + w_y \mathbf{j} + w_z \mathbf{k} \quad (2.10)$$

e

$$\mathbf{V} = v_x \mathbf{i} + v_y \mathbf{j} + v_z \mathbf{k} \quad (2.11)$$

Acknowledgement 5 A rotação $\mathbf{v}' = (v'_x, v'_y, v'_z)^T$ de um vetor $\mathbf{v} = (v_x, v_y, v_z)^T$ um ângulo θ , em sentido anti-horário, ao redor de um vetor unitário $\mathbf{w} = (w_x, w_y, w_z)^T$, ver Fig. 2.2, pode ser compactamente representada através de uma matriz.

$$\mathbf{v}' = \mathbf{R} \mathbf{v}, \quad (2.12)$$

Onde

$$\mathbf{R} = \begin{bmatrix} \cos \theta + w_x^2 (1 - \cos \theta) & w_x w_y (1 - \cos \theta) - w_z \sin \theta & w_x w_z (1 - \cos \theta) + w_y \sin \theta \\ w_y w_x (1 - \cos \theta) + w_z \sin \theta & \cos \theta + w_y^2 (1 - \cos \theta) & w_y w_z (1 - \cos \theta) - w_x \sin \theta \\ w_z w_x (1 - \cos \theta) - w_y \sin \theta & w_z w_y (1 - \cos \theta) + w_x \sin \theta & \cos \theta + w_z^2 (1 - \cos \theta) \end{bmatrix}. \quad (2.13)$$

2.4 Matriz de transformação entre bases

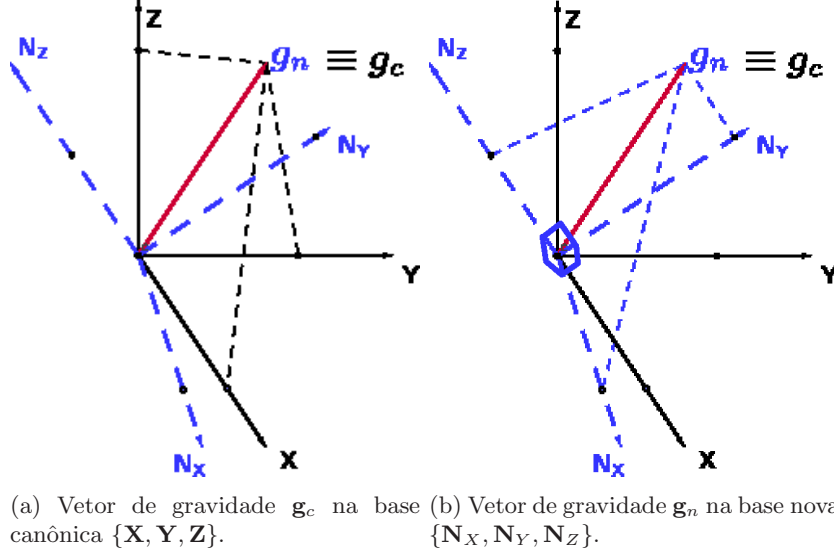


Figure 2.3: Gravidade referenciado aos eixos canônicos e aos eixos novos.

Theorem 1 Dado um vetor $\mathbf{g}_n = (g_{n_x}, g_{n_y}, g_{n_z})$ em uma base nova qualquer, $\{\mathbf{N}_X, \mathbf{N}_Y, \mathbf{N}_Z\}$, e um vetor $\mathbf{g}_c = (g_{c_x}, g_{c_y}, g_{c_z})$ na base canônica $\{\mathbf{X}, \mathbf{Y}, \mathbf{Z}\}$, como na Fig. 2.3, A matriz de transformação M , onde $M\mathbf{g}_c = \mathbf{g}_n$, é definida como

$$M \equiv \begin{pmatrix} \mathbf{N}_X \\ \mathbf{N}_Y \\ \mathbf{N}_X \times \mathbf{N}_Y \end{pmatrix}. \quad (2.14)$$

onde $\mathbf{N}_X \equiv (n_1 \ n_2 \ n_3)$ e $\mathbf{N}_Y \equiv (n_4 \ n_5 \ n_6)$.

Para achar estes valores, deve ser definido $\mathbf{n}_i \equiv (n_1 \ n_2 \ n_3 \ n_4 \ n_5 \ n_6)^T$, de modo que resolvendo a seguinte equação iterativa.

$$\mathbf{n}_0 = (100010)^T, \quad (2.15)$$

$$\mathbf{n}_{i+1} = \mathbf{n}_i - (\mathbf{J}^T(\mathbf{n}_i)\mathbf{J}(\mathbf{n}_i))^{-1} \mathbf{J}^T(\mathbf{n}_i)\mathbf{F}(\mathbf{n}_i), \quad (2.16)$$

obtemos o ultimo valor de \mathbf{n}_i , onde todos estes convergem. Este valor representará a melhor aproximação para M . Os valores das funções matriciais $\mathbf{F}(\mathbf{n})$ e $\mathbf{J}(\mathbf{n})$ podem ser calculados seguindo a equações (2.22) e (2.23)

Proof. Pode ser achada a matriz de transformação do vetor \mathbf{g}_c , da base canônica $\{\mathbf{X}, \mathbf{Y}, \mathbf{Z}\}$ (Fig. 2.3b), ao vetor \mathbf{g}_n na base nova $\{\mathbf{N}_X, \mathbf{N}_Y, \mathbf{N}_Z\}$ (Fig. 2.3a) usando a seguinte equação,

$$M\mathbf{g}_c = \mathbf{g}_n \quad (2.17)$$

Se assumimos que $\{\mathbf{N}_X, \mathbf{N}_Y, \mathbf{N}_Z\}$ são três vetores unitários, descritos em função da base canônica $\{\mathbf{X}, \mathbf{Y}, \mathbf{Z}\}$, então podemos definir a equação anterior como

$$\begin{pmatrix} \mathbf{N}_X \\ \mathbf{N}_Y \\ \mathbf{N}_X \times \mathbf{N}_Y \end{pmatrix} \mathbf{g}_c = \mathbf{g}_n, \quad (2.18)$$

sendo que \times é o produto cru vetorial.

Assim, também podemos dizer que

$$\mathbf{g}_c = \begin{pmatrix} \mathbf{N}_X \\ \mathbf{N}_Y \\ \mathbf{N}_X \times \mathbf{N}_Y \end{pmatrix}^{-1} \mathbf{g}_n = M^{-1} \mathbf{g}_n \quad (2.19)$$

e consequentemente podemos afirmar que um vetor qualquer \mathbf{A}_n , na base nova, pode ser transformado em \mathbf{A}_c , na base canônica usando

$$\mathbf{A}_c = M^{-1} \mathbf{A}_n \quad (2.20)$$

Sabemos pela equação (2.17) e as propriedades dos vetores unitários $\{\mathbf{N}_X, \mathbf{N}_Y, \mathbf{N}_Z\}$ que:

$$\mathbf{F} = \begin{pmatrix} \mathbf{N}_X \cdot \mathbf{g}_c - g_{n_x} \\ \mathbf{N}_Y \cdot \mathbf{g}_c - g_{n_y} \\ (\mathbf{N}_X \times \mathbf{N}_Y) \cdot \mathbf{g}_c - g_{n_z} \\ \mathbf{N}_X \cdot \mathbf{N}_Y \\ \mathbf{N}_X \cdot \mathbf{N}_X - 1 \\ \mathbf{N}_Y \cdot \mathbf{N}_Y - 1 \end{pmatrix} = \mathbf{0}. \quad (2.21)$$

Se definimos $\mathbf{N}_X \equiv (n_1, n_2, n_3)$, $\mathbf{N}_Y \equiv (n_4, n_5, n_6)$ e $\mathbf{n} \equiv (n_1, n_2, n_3, n_4, n_5, n_6)$ e usamos a equação (2.21) então é verdade que

$$\mathbf{F}(\mathbf{n}) = \begin{pmatrix} n_1 g_{c_x} + n_2 g_{c_y} + n_3 g_{c_z} - g_{n_x} \\ n_4 g_{c_x} + n_5 g_{c_y} + n_6 g_{c_z} - g_{n_y} \\ (n_2 n_6 - n_3 n_5) g_{c_x} + (n_3 n_4 - n_1 n_6) g_{c_y} + (n_1 n_5 - n_2 n_4) g_{c_z} - g_{n_z} \\ n_1 n_4 + n_2 n_5 + n_3 n_6 \\ n_1^2 + n_2^2 + n_3^2 - 1 \\ n_4^2 + n_5^2 + n_6^2 - 1 \end{pmatrix} = \mathbf{0} \quad (2.22)$$

e o jacobiano de $\mathbf{F}(\mathbf{n})$ é

$$\mathbf{J}(\mathbf{n}) = \begin{pmatrix} g_{c_x} & g_{c_y} & g_{c_z} & 0 & 0 & 0 \\ 0 & 0 & 0 & g_{c_x} & g_{c_y} & g_{c_z} \\ -g_{c_y} n_6 + g_{c_z} n_5 & g_{c_x} n_6 - g_{c_z} n_4 & -g_{c_x} n_5 + g_{c_y} n_4 & g_{c_y} n_3 - g_{c_z} n_2 & -g_{c_x} n_3 + g_{c_z} n_1 & g_{c_x} n_2 - g_{c_y} n_1 \\ n_4 & n_5 & n_6 & n_1 & n_2 & n_3 \\ 2n_1 & 2n_2 & 2n_3 & 0 & 0 & 0 \\ 0 & 0 & 0 & 2n_4 & 2n_5 & 2n_6 \end{pmatrix}. \quad (2.23)$$

Utilizando a regularização de Tikhonov, para o caso não lineal, sobre $\mathbf{F}(\mathbf{n}) = \mathbf{0}$, o valor de \mathbf{n} que minimize $\mathbf{F}(\mathbf{n})$ pode ser achado usando a seguinte equação iterativa

$$\mathbf{n}_{i+1} = \mathbf{n}_i - (\mathbf{J}^T(\mathbf{n}_i) \mathbf{J}(\mathbf{n}_i))^{-1} \mathbf{J}^T(\mathbf{n}_i) \mathbf{F}(\mathbf{n}_i), \quad (2.24)$$

Onde o símbolo T significa transposta e \mathbf{n}_0 poderia ser, por exemplo, $(1, 0, 0, 0, 1, 0)$. ■

2.5 Rotação de eixos versus rotação de pontos

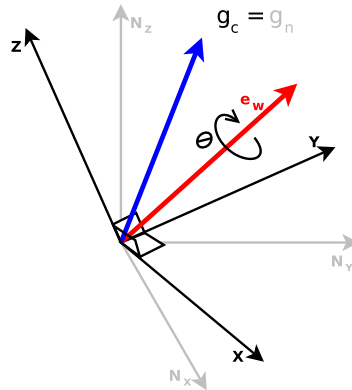


Figure 2.4: Giro dos eixos cordeados um angulo θ .

Theorem 2 Dizer que os eixos giram um angulo θ em sentido horário ao redor de um vetor \mathbf{e}_w , como na Fig. 2.4, é o mesmo que dizer que um ponto gira um angulo θ em sentido anti-horário ao redor de um vetor unitário $\mathbf{e}_w = (e_{w_x}, e_{w_y}, e_{w_z})$.

Assim, conhecendo o Acknow. 5, podemos dizer que um vetor \mathbf{v} sofre uma transformação em \mathbf{v}' quando os eixos giram em sentido horário ao redor de um vetor \mathbf{e}_w ,

$$\mathbf{v}' = \mathbf{R}\mathbf{v}, \quad (2.25)$$

Onde

$$\mathbf{R} = \begin{bmatrix} \cos \theta + e_{w_x}^2 (1 - \cos \theta) & e_{w_x} e_{w_y} (1 - \cos \theta) - e_{w_z} \sin \theta & e_{w_x} e_{w_z} (1 - \cos \theta) + e_{w_y} \sin \theta \\ e_{w_y} e_{w_x} (1 - \cos \theta) + e_{w_z} \sin \theta & \cos \theta + e_{w_y}^2 (1 - \cos \theta) & e_{w_y} e_{w_z} (1 - \cos \theta) - e_{w_x} \sin \theta \\ e_{w_z} e_{w_x} (1 - \cos \theta) - e_{w_y} \sin \theta & e_{w_z} e_{w_y} (1 - \cos \theta) + e_{w_x} \sin \theta & \cos \theta + e_{w_z}^2 (1 - \cos \theta) \end{bmatrix}. \quad (2.26)$$

Proof. É fácil de perceber quando analisamos o giro num eixo coordenado como na Fig. 2.5a.

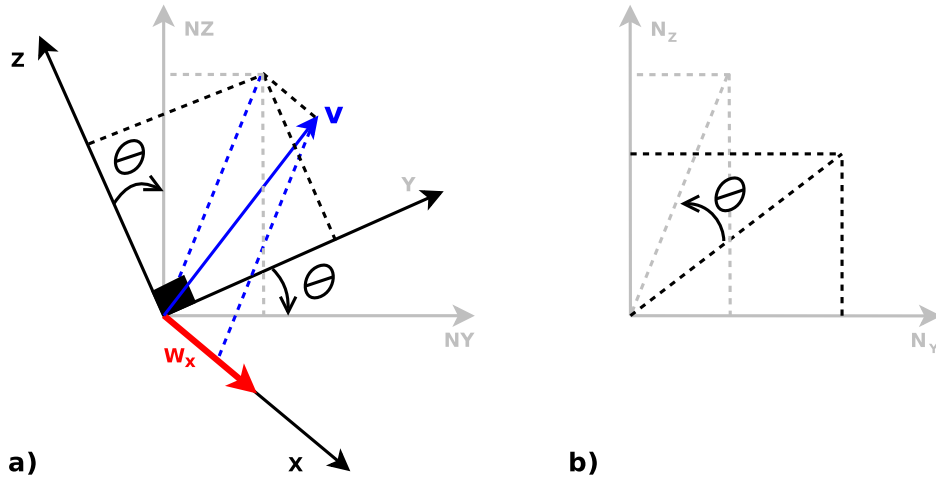


Figure 2.5: comparação da perceptiva de giro.

Esta figura mostra como os eixos coordenados $\{\mathbf{X}, \mathbf{Y}, \mathbf{Z}\}$ giram ao redor do eixo \mathbf{X} um angulo θ no sentido horário. Para efeitos de exemplo, se apresenta também o vetor \mathbf{v} e suas distintas projeções no eixo canônico é o eixo girado, como pode ser visto na Fig. 2.5b. Assim, é fácil de ver que desde o ponto de vista do vetor, este gira um angulo θ em sentido anti-horário. ■